



## تحلیل غیرخطی استاتیکی قابهای خمی با بکارگیری فنرها مجذبی

احمد شوستری<sup>1</sup>، رضا خواجه‌جوی<sup>2</sup>

- استادیار، دانشگاه فردوسی مشهد، دانشکده مهندسی، گروه عمران

- دانشجوی دکتری سازه، دانشگاه فردوسی مشهد، دانشکده مهندسی، گروه عمران

ashoosht@ferdowsi.um.ac.ir

### خلاصه

طراحی ساختمنهای فولادی و بتی، با چشم پوشی از دامنه موسمانی، از دیدگاه مهندسی، هرگز به صرفه نیست، به ویژه آن‌جا که بارهای عظیم لرزه‌ای هم در میان باشند. بدین ترتیب، انجام تحلیلهای غیرخطی، که اثرات ناکشن‌سازی مصالح را منظور کنند، چه استاتیکی (مانند تحلیل بار افرون Pushover) و چه دینامیکی، بسیار ارزشمند است. سالیانی است که پژوهشگران، شیوه‌های گوناگونی را برای الگوسازی رفتار ناکشن‌سازی در تحلیل استاتیکی و دینامیکی سازه‌های فولادی و به ویژه بتی پیشنهاد می‌دهند. از آن‌میان می‌توان الگوی پرکاربرد عضو قابی با مفصل موسمانی متumer، و همچنین، عضو قابی با موسمانی پیش‌روند (گسترده) را بر شمرد. هر یک از این روش‌ها در ترتیب‌ها، و البته کاستی‌هایی می‌باشند. در این پژوهش، شیوه‌ای نوین برای برپاسازی ماتریس سختی کشناسان - موسمان عضوهای قابی، بر پایه روش مفصل موسمانی متumer کز جهت بکارگیری در تحلیل استاتیکی غیرخطی پیشنهاد شده است، که در آن، به جای بستن فرنرها یا همان مفصل‌های موسمانی به درجه‌های آزادی دورانی، فنرهایی مجذبی در حالت‌های کرنشی مناسبی از عضو قابی جاسازی می‌شوند. شیوه پیشنهادی برای تیر اولر - برنولی پیاده سازی شده، و توانایی ماتریس سختی کشناسان - موسمان عضو قابی به دست آمده برای ساده‌سازی فرآیند تحلیل استاتیکی غیرخطی بررسی شده است.

**کلمات کلیدی:** تحلیل استاتیکی غیرخطی، حالت کرنشی، عضو قابی، فنر مجذبی، مفصل موسمانی.

### ۱. مقدمه

پیشرفت‌های نوین در زمینه ساخت افزار و نرم افزار رایانه‌ای، مهندسان سازه را بر آن داشته تا برای طراحی بهینه تر ساختمان‌ها، به ویژه در برابر بارهای لرزه‌ای، از روش‌هایی کارآتر چون طراحی بر مبنای عملکرد بهره جویند. چنین روش‌های طراحی، بر پایه تحلیل‌های پیچیده تری استوارند که اثر رفتار غیرخطی مصالح را نیز در نظر می‌گیرند. روش‌های تحلیل استاتیکی غیرخطی (بار افرون Pushover) و تحلیل‌های دینامیکی غیرخطی نمونه‌هایی از این تحلیل‌های پیشرفته‌اند، که به کارگیری آنها، تحلیلگران را تا اندازه‌ای از انجام ساده سازی‌ها در فرآیند تحلیل و طراحی بی‌نیاز کرده است.

در تحلیل غیرخطی مواد یا کشناسان - موسمان، دو رویکرد بنیادی وجود دارد. در رویکرد نخست، متغیرهای اصلی نقش آفرین، تنش‌ها هستند، و از همین‌رو، روش‌های گردآمده در این دسته را با نام رابطه سازی‌های تنشی می‌شناسند. رابطه سازی تنشی، همان روش اجزای محدود موسمانی است، که می‌توان آن را دقیق ترین روش دانست. در این شیوه رابطه سازی، نمودار تنش - کرنش مصالح، در حالت‌های بارگذاری و باربرداری، به طور مستقیم به کار می‌آید. بزرگترین کاستی این رویکرد تحلیلی، نیاز آن به پردازش حجم گسترده‌ای از داده‌ها و زمانبری و هزینه بالای آن است، که کاربرد آن را برای تحلیل ساختمان‌های طبقاتی، ناشدنی کرده است.

رویکرد دوم، با نام رابطه سازی برآیند تنش‌ها شناخته می‌شود، که در آن، متغیرهای اصلی، نیروها (و لنگرهای) داخلی (برآیند تنش‌ها) هستند. در روش‌های تحلیلی این دسته، برآیندی از رفتار کشناسان - موسمان مقطع عضو به کار گرفته می‌شود. از همین روست که نیروها و لنگرهای داخلی به جای تنش‌ها به کار می‌آیند. پیداست که روش‌های این رویکرد، نمی‌توانند نمودارهای تنش - کرنش را به طور مستقیم به کارگیرند، و رفتار موسمانی، باید در چارچوب نیروها و لنگرهای داخلی الگوسازی گردد [1].



روش های گوناگونی برای الگوسازی رفتار کشسان - مومنان عضو های قابی، با بهره گیری از رویکرد دوم پیشنهاد شده است. در ساده ترین شیوه، فرآیند مومنانی شدن عضو قابی را تنها در گره هایی از سازه مرکز می کنند. این کار با جاسازی مفصل های مومنانی به درازای صفر در آن گره ها انجام می پذیرد. بیشتر، این مفصل ها در سر عضو جای می گیرند، و به صورت سری، به درجه های آزادی گره های دو سر بسته می شوند [2]. گفتنی است، این شیوه تحلیل، به دلیل سادگی، زمانبری و هزینه اندک، در سنجش با دیگر شیوه ها، کاربرد فراوان تری در تحلیل های کشسانی - مومنانی ساختمانهای طبقاتی پیدا کرده است، و بیشتر پژوهش ها در زمینه تحلیل های ناکشسانی قاب ها نیز این شیوه را برای بررسی برگزیده اند. در این مقاله نیز از همین رویکرد برای برپاسازی قالب عضو تیر خمی بهره جسته می شود.

در این پژوهش، شیوه نوینی برای برپاسازی ماتریس سختی کشسان - مومنان عضو های قابی با بهره جویی از روش مفصل های مومنانی پیشنهاد شده است. این شیوه بر پایه شناسایی حالت های کرنشی گوناگون جزء انجام می پذیرد، و همان گونه که در ادامه خواهد آمد، به جای کارگذاری فرتهای مومنانی در درجه های آزادی دورانی دو سر عضو قابی، فرتهایی مجازی در حالت های کرنشی مناسب عضو جاسازی می شوند. پیش از پرداختن به شیوه پیشنهادی، نگاهی گذرا بر حالت های کرنشی جزء محدود خواهیم انداخت، و چگونگی ساخت ماتریس سختی کشسان تیر خمی را در دستگاه پایه حالت های کرنشی بررسی خواهیم کرد. آن گاه، با گسترش این مفهوم به فضای مومنانی، ماتریس سختی کشسان - مومنان جدیدی را با سه ضریب سختی را معرفی می نماییم، و از آن، در بهینه و ساده سازی تحلیل ایستایی غیرخطی استفاده خواهیم نمود.

## 2. ماتریس سختی کشسانی در فضای حالت های کرنشی

در فرآیند ساماندهی ماتریس سختی کشسانی تیر اولر - برنولی، می توان به جای بهره گیری از تابع های شکل آشنای هرمیتی، تابع های پایه زیر را برگزید [3]:

$$N_q = \begin{bmatrix} 1 & x & \frac{x^2}{2} & \frac{x^3}{6} \end{bmatrix} \quad (1)$$

ماتریس نگاشت  $\mathbf{G}$  با جایگذاری مختصه  $X$  دو گره،  $L/2$ - و  $-L/2$ ، در تابع های پایه و مشتق آنها ساخته می شود:

$$\mathbf{G} = \begin{bmatrix} 1 & \frac{-L}{2} & \frac{L^2}{8} & \frac{-L^3}{48} \\ 0 & 1 & \frac{-L}{2} & \frac{L^2}{8} \\ 1 & \frac{L}{2} & \frac{L^2}{8} & \frac{L^3}{48} \\ 0 & 1 & \frac{L}{2} & \frac{L^2}{8} \end{bmatrix} \quad (2)$$

ستون های این ماتریس بردارهای پایه حالت های کرنشی جزء تیر خمی اند. نمایش آنها در شکل (1) آمده است. وارون این ماتریس را  $\mathbf{H}$  می نمایم. برای ساخت ماتریس سختی عضو تیر خمی، در دستگاه حالت های کرنشی نشان داده شدن در شکل (1)، در گام نخست، ماتریس کرنش - حالت کرنشی  $\mathbf{B}_q$  پیدا می شود:

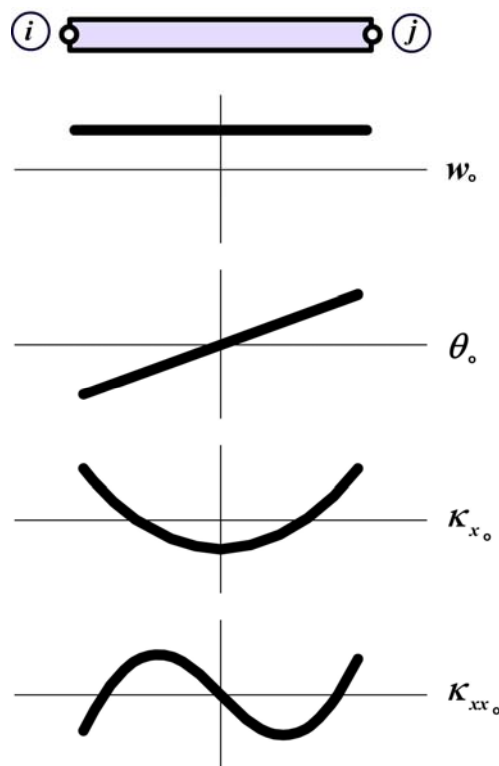
$$\mathbf{B}_q = \frac{d^2}{dx^2} N_q = \begin{bmatrix} B_{q1} & B_{q2} & B_{q3} & B_{q4} \end{bmatrix} = \begin{bmatrix} 0 & 0 & 1 & x \end{bmatrix} \quad (3)$$

با بهره جویی از این ماتریس، می توان ماتریس سختی جزء محدود تیر خمی را در دستگاه حالت های کرنشی برپا کرد:

$$\mathbf{K}_q = \int_V \mathbf{B}_q^T \mathbf{D}_m \mathbf{B}_q dV = \int_{-L/2}^{L/2} \mathbf{B}_q^T (EI) \mathbf{B}_q dx$$

$$= \begin{bmatrix} 0 & & & \\ & 0 & & \\ & & EI L & \\ & & & \frac{EI L^3}{12} \end{bmatrix} \quad (4)$$

نام این ماتریس سختی قطری، با وام گیری از واژگان حساب تانسورها، ماتریس سختی اصلی نهاده می شود. هر یک از درایه های قطر اصلی ماتریس (4)، ویژه سختی نامیده می شوند [4]. هر ویژه سختی، نماینده اندازه سختی عضو تیر خمی در برابر پیدایش حالت کرنشی همتای آن است. روشن



شکل 1 - نمایش حالت های کرنشی جزء تیر خمی اول - برونولی

است، عضو تیر خمی در برابر هر یک از دو حالت جابجایی یا دوران جسم سخت، تغییر شکلی پیدا نکرده، سختی از خود نشان نمی دهد. از همین روست که ویژه سختی های همتای این دو حالت کرنشی برابر صفرند.

### 3. ماتریس سختی کشسان مومنسان تیر خمی

برای ساخت ماتریس سختی کشسان مومنسان تیر خمی با بهره جویی از روش مفصل های مومنسانی مت مرکز، فترهای مومنسانی در درجهات آزادی دورانی دو سر عضو جایسازی می شوند [5]. در این مقاله، برای ساخت قالب کشسان مومنسان جزء تیر خمی، به جای جاسازی فترهای مومنسانی در درجه های آزادی دورانی، فترهایی مجازی به درجه های آزادی همتای حالت های کرنشی نا صفر انحنای ثابت  $K_{x_0}$ ، و انحنای خطی  $K_{xx_0}$ ، بصورت سری بسته می شوند. این کار با افزودن وارون ماتریس سختی (ماتریس نرمی) اصلی کشسان عضو تیر خمی، به وارون ماتریس سختی فترهای مومنسان حالت های کرنشی انجام می پذیرد، تا ماتریس نرمی کشسان مومنسان عضو در دستگاه پایه حالت های کرنشی به دست آید. ماتریس سختی کشسان مومنسان حالت های کرنشی، وارون این ماتریس نرمی خواهد بود:

$$\begin{aligned} \mathbf{K}_{q_{ep}} &= (\mathbf{K}_{q_e}^{-1} + \mathbf{K}_{q_p}^{-1})^{-1} \\ &= \left( \begin{bmatrix} EI L & 0 \\ 0 & \frac{EI L^3}{12} \end{bmatrix}^{-1} + \begin{bmatrix} k_{p_{11}} & k_{p_{12}} \\ k_{p_{12}} & k_{p_{22}} \end{bmatrix}^{-1} \right)^{-1} \end{aligned} \quad (5)$$

در ساماندهی رابطه بالا، دو نکته مورد توجه قرار گرفته است. نخست آن که در روند رابطه سازی، ویژه سختی های صفر همتای جابجایی و دوران جسم سخت کنار گذاشته شده اند، تا فرآیند وارون سازی ماتریس ها به درستی انجام پذیرد. دوم آن که ماتریس سختی مومنسان همتای حالت های کرنشی پنداشته شده شکل (1) الزاماً قطری نیست. به سخن دیگر، قطری بودن ماتریس سختی عضو تیر خمی برای این حالت های کرنشی، تنها در فضای کشسانی پذیرفتنی است [6,7]، و در فضای مومنسانی، این ویژگی همیشگی نیست.



با بهره جویی از یک تحلیل ابعادی ساده می‌توان ماتریس سختی مومسان عضو تیر خمثی را در دستگاه حالت‌های کرنشی، بر پایه شناسه‌های کشناسانی آن بازنوشت:

$$\mathbf{K}_{q_p} = \begin{bmatrix} k_{p_{11}} & k_{p_{12}} \\ k_{p_{12}} & k_{p_{22}} \end{bmatrix} = \begin{bmatrix} aEIL & bEIL^2 \\ bEIL^2 & cEIL^3 \end{bmatrix} \quad (6)$$

$a$ ،  $b$ ، و  $c$  ضریب‌های عددی در ماتریس سختی مومسانی هستند. با جایگذاری این رابطه در رابطه (5)، ماتریس سختی اصلی کشناسان مومسان تیر خمثی، با چشم پوشی از حالت‌های کرنشی جابجایی و دوران جسم سخت، چنین خواهد شد:

$$\mathbf{K}_{q_{ep}} = \begin{bmatrix} -12c^2 + a(12b+1) & EIL \\ 12(1+a)b - 12c^2 + 1 + a & sym. \\ \frac{c}{12(1+a)b - 12c^2 + 1 + a} EIL^2 & \frac{(b+ab-c^2)}{12(1+a)b - 12c^2 + 1 + a} EIL^3 \end{bmatrix} \quad (7)$$

این ماتریس را می‌توان به نمایش ساده زیر در آورد:

$$\mathbf{K}_{q_{ep}} = \begin{bmatrix} \alpha EIL & \gamma EIL^2 \\ \gamma EIL^2 & \beta EIL^3 \end{bmatrix} \quad (8)$$

با افزودن ویژه سختی صفر همتای جابجایی و دوران جسم سخت، ماتریس سختی اصلی کشناسان مومسان عضو تیر خمثی همانند زیر به دست خواهد آمد:

$$\mathbf{K}_{q_{ep}} = \begin{bmatrix} 0 & & \\ & 0 & \\ & & \alpha EIL & \gamma EIL^2 \\ & & \gamma EIL^2 & \beta EIL^3 \end{bmatrix} \quad (9)$$

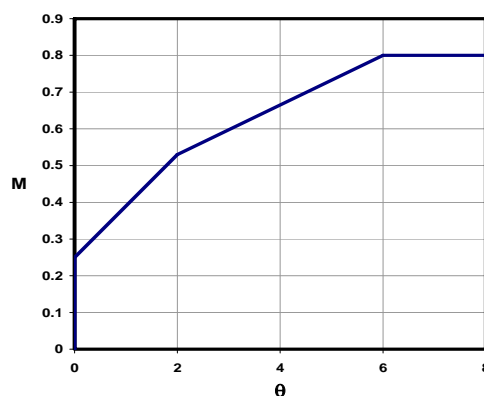
ماتریس سختی کشناسان مومسان عضو تیر خمثی با بهره جویی از نگاشت زیر به دست خواهد آمد [4]:

$$\mathbf{K}_{ep}(\alpha, \beta, \gamma) = \mathbf{H}^T \mathbf{K}_{q_{ep}}(\alpha, \beta, \gamma) \mathbf{H} \quad (10)$$

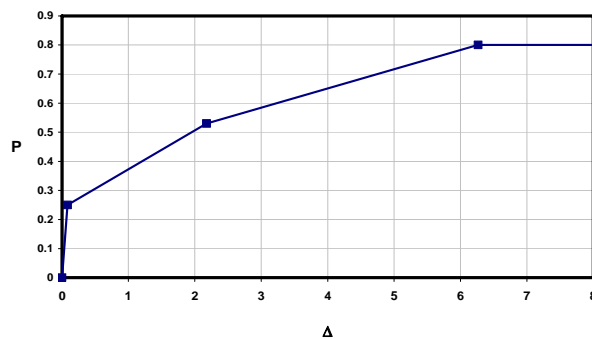
#### بهینه سازی تحلیل غیرخطی استاتیکی با بکارگیری قالب

#### 4

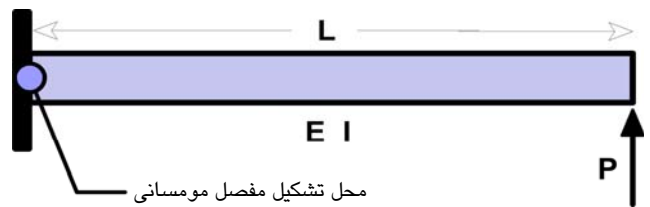
از ماتریس سختی کشناسان مومسان تیر خمثی رابطه (10) می‌توان برای بهینه سازی تحلیل و ساخت جزء‌های با کارآبی بالا بهره جست. در این بخش، کارآمدی ماتریس سختی پیشنهادی در ساده سازی فرآیند تحلیل غیرخطی استاتیکی نشان داده می‌شود. چنین انگاشته می‌شود که رفتار حقیقی مومسانی عضو تیر خمثی با پدیداری مفصل‌های مومسانی در گره‌های لبه‌ای، با کارکردی همانند آن چه در شکل (2) آمده است، الگوسازی شود. تحلیل استاتیکی غیرخطی این تیر با تکیه گاه یکسر گیردار و شناسه‌های  $L=1$ ،  $E=1$ ،  $I=1$ ،  $E=1$ ، و  $L=1$ ، همانند شکل (3)، نمودار نیرو تغییر مکان شکل (4) را به دست می‌دهد. چنین می‌پنداشیم که این نمودار نمایانگر رفتار حقیقی کشناسانی مومسانی این تیر، با افزایش بار در سرآزاد باشد.



شکل 2- نمودار لتگر - دوران مفصل مومسان حقیقی



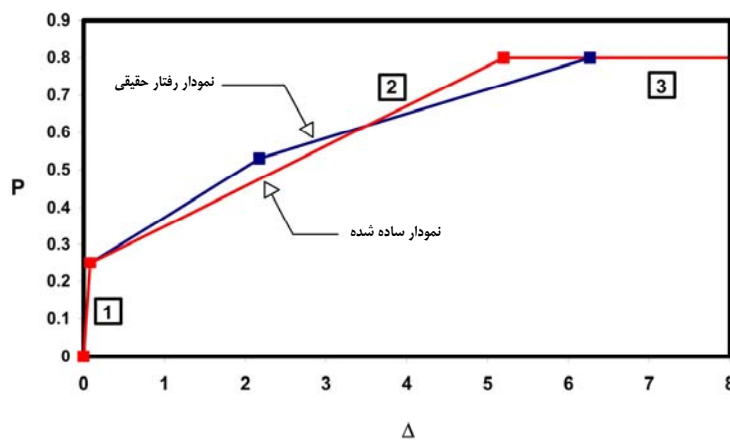
شکل 4- نمودار بار - تغییر مکان تیر یکسر گیردار با مفصل موسمانی حقیقی



شکل 3- تیر یکسر گیردار کشسان موسمان

اکنون، در جهت ساده سازی فرآیند تحلیل، نمودار چهار قطعه ای شکل (4) با یک نمودار سه قطعه ای جایگزین می شود. این درونیابی که در شکل (5) نشان داده شده، به گونه ای انجام پذیرفته است که سطح زیر دو نمودار، که نماینده ای از اثری داده شده به عضو است، برابر باشند. فرآیند بهینه یابی، عامل های آزاد ماتریس سختی جزء تیر خمی رابطه (10) را، بر پایه این درونیابی تازه، برای هر یک از سه قطعه، برابر زیر به دست می دهد:

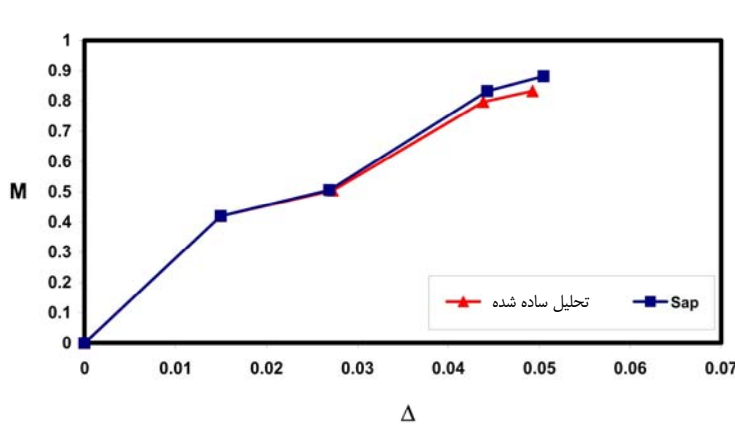
$$\begin{aligned}
 \text{Sec. 1} &: \alpha = 1 & \beta = 0.08333 & \gamma = 0 \\
 \text{Sec. 2} &: \alpha = 0.65 & \beta = 0.02 & \gamma = \pm 0.105 \\
 \text{Sec. 3} &: \alpha = 0 & \beta = 0 & \gamma = 0
 \end{aligned} \tag{11}$$



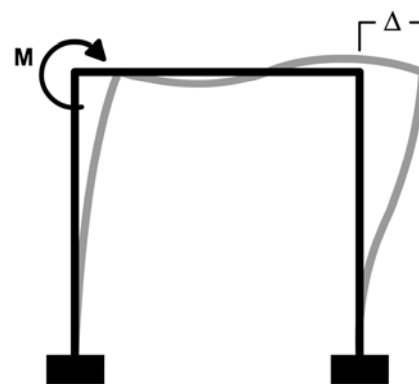
شکل 5- نمودارهای رفتار حقیقی و تقریبی تیر یکسر گیردار

تحلیل کشسانی موسمانی قاب پرتال شکل (6)، با به کار گیری ضریب های سختی بالا، نمودار لنگر - تغییر مکان را به گونه مناسبی، آن گونه که در شکل (7) نشان داده شده است، به دست می دهد. همچنین، تحلیل کشسانی موسمانی ساده شده، ترتیب پدیداری مفصل های موسمانی را درست همانند آن چه از تحلیل SAP2000 به دست می آید، شکل (8)، پیش بینی می کند.

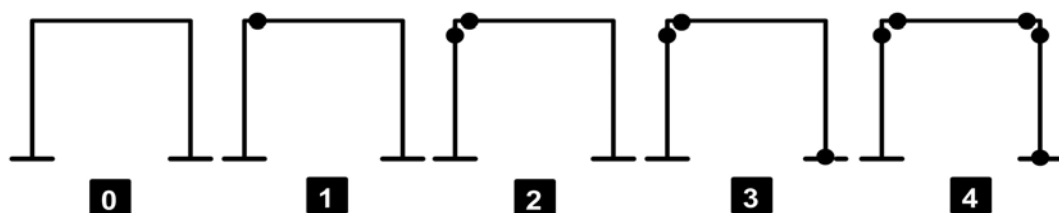
اکنون و در نمونه ای دیگر، با بهره جویی از ماتریس سختی کشسان موسمان ساده شده، قاب پرتال یک دهانه و یک طبقه، که دارای سختی های متفاوت اعضاء، همانند شکل (9) می باشد، تحلیل، و با پاسخ های درست سنجیده می شود. فرآیند تحلیل، به پاسخ هایی همانند شکل (10) خواهد انجامید.



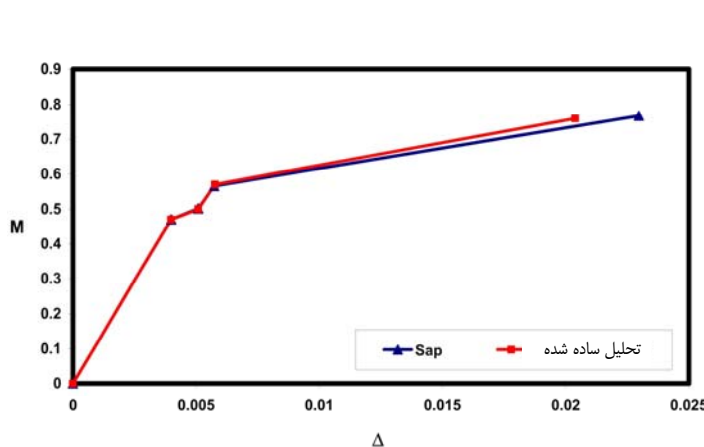
شکل 7- مقایسه نمودارهای لنگر- تغییر مکان روش تقریبی و SAP



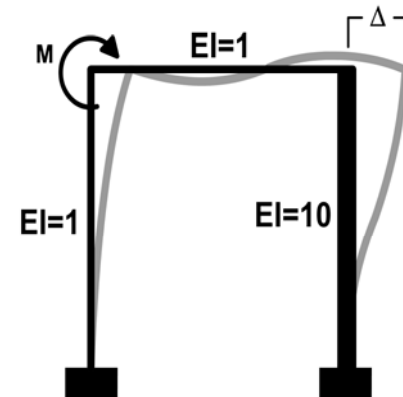
شکل 6- قاب پرتال با لنگر خارجی



شکل 8- ترتیب تشکیل مفصل های موسمانی بر پایه تحلیل تقریبی ساده شده و SAP

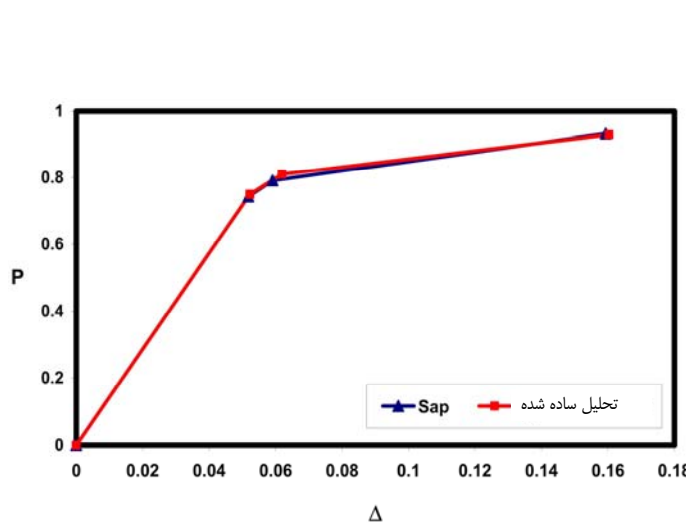


شکل 10- مقایسه نمودارهای نیرو - تغییر مکان روش تحلیلی تقریبی و SAP

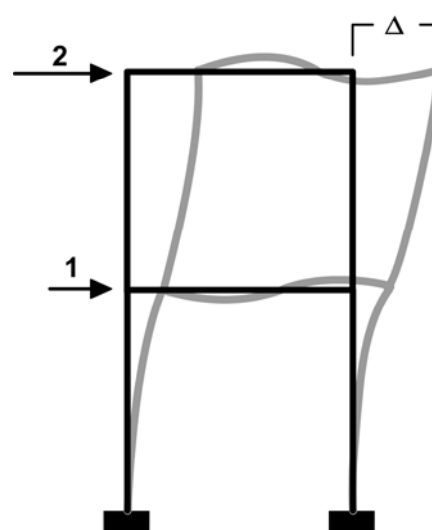


شکل 9- قاب پرتال با سختی های متفاوت اعضا

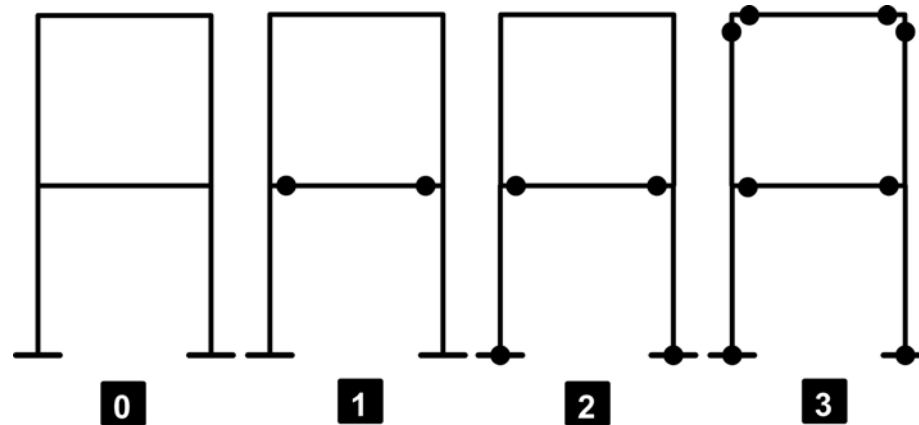
در نمونه ای دیگر، از ماتریس سختی ساده شده برای تحلیل قاب دو طبقه و یک دهانه شکل (11)، که همه اعضای آن دارای ضریب موسمانی، لنگر لختی و دارازای یکه هستند، بهره جسته شده است. همان گونه که از شکل (12) بر می آید، ماتریس سختی ساده و بهینه شده به خوبی توانسته است پاسخ های درست تحلیل را رهگیری نماید. همچنین، این تحلیل، ترتیب پدیداری مفصل های موسمانی را، آن گونه که در شکل (13) آمده است، به درستی پیش بینی می کند.



شکل 12- مقایسه نمودارهای نیرو - تغییر مکان روش تحلیلی تقریبی و SAP



شکل 11- قاب پرتال دو طبقه یک دهانه



شکل 13- ترکیب تشکیل های مومنانی با تحلیل تقریبی و SAP

## 5. نتیجه گیری

پژوهش کنونی، شیوه ای نو در برپاسازی ماتریس سختی کشسان - مومنان عضوهای قابی، با الهام گرفتن از روش آشنای مفصل های مومنانی متوجه کرده است. در این شیوه، فنر های مومنانی مجازی در حالت های کرنشی عضو جای می گیرند. با این کار، امکان الگوسازی گونه های مفصل های خمی و برشی به گونه ای درست، و بدون آن که حالت های جابجایی و دوران جسم سخت عضو کارمایه دار شوند، فراهم می شود. همچنین این روش می تواند پایه ای برای ساخت ماتریس های سختی با امکان الگوسازی مفصل های مومنانی در هر گره ای از عضو قابی، و نه فقط گره های دو سر آن باشد. نکته مهم دیگر درباره شیوه پیشنهادی این است که می توان آن را به آسانی به گونه های دیگر جزء های محدود، و از آن میان صفحه و پوسته نیز گسترش داد. همچنین شیوه کنونی، راهکاری نظام مند را برای یافتن سختی فنر های مومنانی پیشنهاد می کند. این کار، با اعمال حالت های کرنشی مناسب به عضو و اندازه گیری تغییر شکلهای مومنانی انجام می پذیرد. در این پژوهش، روش پیشنهادی برای جزء محدود تبر اوبل - برتویی به کار رفته، و ماتریس سختی کشسان مومنان تیر خمی با سه ضریب سختی به دست آمده است. از این ماتریس سختی می توان برای ساده سازی فرآیند تحلیل استاتیکی غیرخطی مواد استفاده کرد. نمونه ای از این ساده سازی تحلیل با بهره گیری از یک گرینه بهینه سازی انجام گرفته بر روی ضریب های ماتریس سختی کشسان مومنان، در این مقاله آورده شده است، و نتایج تحلیل با پاسخ های درست، که از تحلیل SAP به دست آمده،



سنجدیده شده‌اند. روند کار، توانمندی و کارآیی قالب را در تحلیل کشسان مومسان قابها نشان می‌دهد. ماتریس سختی کشسان مومسان ساده و بهینه سازی شده به خوبی توانسته است نمودار بار افزون را برای نمونه قاب‌های گوناگون مورد بررسی به درستی و بسیار نزدیک به نمودار حقیقی رصد کند. همچنین این ماتریس سختی به دست آمده برای عضو قابی، در پیش‌بینی ترتیب رخداد مفصل‌های موسمانی نیز بدون هیچ گونه اشتباه بوده است.

## 6. مراجع

1. Ren, W. X. and Tan X., Zheng Z., (1999), "Nonlinear Analysis of Plane Frames Using Rigid Body-Spring Discrete element method", Computers and Structures, **71**, pp. 105-119.
2. Elsiwat, J., (1993), "Effect of Anchorage Slip and Inelastic Shear on Seismic Response of Reinforced Concrete Frames", Pd.D Assertion, University of Ottawa, Canada.
3. Dow, John O., (1999), "A Unified Approach to The Finite Element Method and Error Analysis Procedures", Academic Press.
4. رضا خواجه‌جوری، (1383)، "پاره سازی ماتریس سختی و قالب اصلی جزء محدود"، پایان نامه کارشناسی ارشد، دانشکده مهندسی گروه عمران، دانشگاه فردوسی، مشهد، ایران.
5. سید مهدی ارفعی شهیدی زاده، (1381)، "بررسی پایداری قابهای دو بعدی با در نظر گرفتن رفتار غیرخطی مواد"، پایان نامه کارشناسی ارشد، دانشکده مهندسی گروه عمران، دانشگاه فردوسی مشهد، ایران.
6. Felippa, C. A., (2001), "Customizing High Performance Elements by Fourier Methods", TRENDS IN COMPUTATIONAL STRUCTURAL MECHANICS CIMNE, Barcelona, Spain.
7. Felippa, C. A., (2003), "A Template Tutorial", delivered in Centro Internacional de Metodos Numericos en Ingeneria (CIMNE), Barcelona, Spain.